

# شبیه‌سازی و بررسی پارامتری چرخه تجمیعی مت مرکز کننده‌های سهموی خورشیدی و چرخه آلی رانکین برای تولید توان الکتریکی

علی پاکدل

تهران، دانشگاه آزاد اسلامی، واحد علوم و تحقیقات، دانشکده انرژی و محیط زیست

<sup>+</sup> محمد رضا جعفری نصر\*

تهران، پژوهشگاه صنعت نفت

**چکیده:** خورشید به عنوان یکی از منابع های پایان ناپذیر انرژی است که امکان تولید برق و گرمای از آن به راحتی وجود دارد. چرخه آلی رانکین همانند چرخه شناخته شده بخار رانکین است با این تفاوت که در آن از یک سیال آلی به جای بخار استفاده می شود. این مطالعه به بررسی انتخاب سیال عامل مناسب برای چرخه آلی رانکین، راهکاری برای بهبود عملکرد و افزایش راندمان، شناسایی پارامترها و متغیرهای تأثیرگذار بر راندمان چرخه آلی رانکین، بهره گیری از مبدل گرمایی مناسب در چرخه تجمیعی کلکتورهای سهموی خورشیدی و چرخه آلی رانکین پرداخته است. توان خروجی سامانه ۲۱۴۰ کیلووات و منبع گرمایی سامانه، انرژی استحصال شده توسط کلکتورهای سهموی خورشیدی است. چرخه در دمای ۲۵۰ درجه سلسیوس که متوسط دمای کلکتورهای سهموی لوله ای است، مورد بررسی و ارزیابی قرار گرفته است. در این مطالعه تهران به عنوان شهر مورد نظر برای محاسبه های تابش خورشید و تغیرهای فصل، انتخاب شده است. بررسی سیال های کاری متفاوت به منظور یافتن بیشترین راندمان خالص در چرخه تجمیعی مت مرکز کننده های سهموی خورشیدی و چرخه آلی رانکین صورت پذیرفت و نشان داده شد که سیال های R-123، R-141B، R-113، R-245ca و R-245 به ترتیب دارای راندمان خالص چرخه ۱۷، ۱۵، ۱۳، ۱۵، ۲۱ و ۱۱ درصد می باشند و از آن میان، سیال R-141B بیشترین راندمان خالص و سیال R-245ca بیشترین توان الکتریکی را دارا می باشد. تأثیر تغیرهای دمای محیط برای تابستان و زمستان، ارتفاع محل نصب و ... مورد بررسی قرار گرفت.

**واژه های کلیدی:** سیال کاری، سیال خشک، کلکتور سهموی خورشیدی، چرخه آلی رانکین، راندمان خالص چرخه.

**KEY WORDS:** Working fluids, Dry fluid, Parabolic Through Collector (PTC), Organic Rankine Cycle (ORC), Net electrical efficiency.

+E-mail: nasrnej@ripi.ir

\* عهده دار مکاتبات

**مقدمه**

R-141b و همکاران [۴] سیکلوهگزان، R-245fa، Schuster R-365mfc و R-11 را مورد مطالعه قراردادند. Lariola [۵] R-114، R-113، تولئن و فلورین‌ها<sup>(۴)</sup> (CF<sub>3</sub>CHOH) را مورد مطالعه قرارداد. Saleh و همکاران [۶] ۲۱ مبرد آلی و ۱۰ سیال آلی دیگر، که در میان آن‌ها N-هگزان بالاترین دمای بحرانی (234.67°C) و R-41 کمترین دمای بحرانی را (44.25°C) داشتند، مورد مطالعه قراردادند.

Mago و همکاران [۷] بر روی راندمان گرمایی چرخه آلی رانکین با سیالات کاری R-113، R-123، R-245ca، R-245fa و R-134a R-134a و ایزوبوتان مطالعه کردند. این مطالعه اثبات کرد که سیال R-113 بیشترین راندمان گرمایی را در بین سیالات مورد مطالعه در چرخه آلی رانکین به خود اختصاص داده است. Dai و همکاران [۸]، بر روی بهینه‌سازی چرخه آلی رانکین با استفاده از راندمان اکسرژی را مطالعه کردند. نتیجه‌های آنها نشان داد که چرخه ترکیبی با فشار و دمای ورودی توربین ۷/۹ Bar و ۱۱۸/۹°C و فشار بازگشتی توربین ۱،۵ Bar با بیشینه راندمان اکسرژی ۲۷/۱ درصد فعالیت می‌کرد. نتیجه‌های تحلیل اکسرژی آنها نشان داد که مقدار زیادی اکسرژی در بویلر و اجکتور از دست رفته است.

Yamamoto و همکاران [۹] برای تحلیل ترمودینامیکی و مشخص کردن و بهینه‌سازی شرایط عملیاتی چرخه آلی رانکین از نرم‌افزار شبیه‌ساز HYSYS استفاده کردند. این شبیه‌ساز برای تحلیل ترمودینامیکی در شرایط حالت پایدار بسیار مفید است.

در پژوهش حاضر، بررسی برای انتخاب سیال عامل برای چرخه آلی رانکین، راهکار بهبود عملکرد و افزایش راندمان، شناسایی پارامترها و متغیرهای تأثیرگذار بر راندمان چرخه آلی رانکین، بهره‌گیری از مبدل مناسب چرخه تجمیعی کلکتورهای سهموی خورشیدی و چرخه آلی رانکین مورد توجه قرار گرفته است. بیست و پنج سیال آلی مورد بررسی قرار گرفته که عبارتند از: R-113، R-114، R-115، R-123، R-124، R-1234ze، R-142B، R-141B، R-134a، R-218، R-227ea، R-236ea، R-245fa، R-365mfc، RC318 و R-404A که انتخاب سیالات عامل با نرم افزاری بهنام R-507A

یکی از منابع پایان‌نایابی، خورشید است که امکان تولید برق و گرمایی از آن به راحتی میسر می‌باشد. گرمای انرژی خورشیدی به وسیله کلکتورهایی جذب شده و به وسیله مبدل گرمایی به چرخه ترمودینامیکی که توانایی تولید الکتریسیته را دارد، انتقال می‌یابد. فناوری که این انرژی بی‌پایان را برای تولید توان الکتریکی مهیا می‌سازد؛ چرخه‌ای ترمودینامیکی بهنام چرخه آلی رانکین است. از زمانی که اولین نیروگاه گرمایی بر پایه چرخه رانکین ساخته شد تا به حال چندین اصلاح در پیکربندی و تغییر جنس مواد به کار رفته در تجهیزات به وجود آمده است، اما همواره سیال کاری آب انتخاب شده است. با وجود آن که آب ویژگی‌هایی دارد که آن را انتخابی بسیار خوب به عنوان سیال کاری کرده، انتخاب‌های بهتری نیز برای کاربردهای دما پایین نیز در دسترس است. ماده سیال آلی<sup>(۱)</sup>، انتخاب رایج برای برخی از کاربردها است. چرخه آلی رانکین (ORC) نامی است برای اینکه در آن از سیال آلی، استفاده شده است. سیال آلی با جرم مولکولی بالا<sup>(۲)</sup> و با تغییر فاز مایع-بخار که در دمای پایین‌تر از تغییر فاز آب -بخار اتفاق می‌افتد. ماده سیال کاری آلی باعث می‌شود که چرخه رانکین گرمای خود را از منابع دما پایین مانند گرمای خورشیدی، سوختن زیست‌توده، گرمای تلفشده صنعتی، گرمای زمین گرمایی و غیره کسب نماید. گرمای دما پایین به کار مفید تبدیل شده که می‌تواند به الکتریسیته تبدیل شود.

Chen و همکاران (۱۱ میلادی)<sup>(۱)</sup> پژوهشی مقایسه‌ای بین چرخه آلی رانکین و چرخه رانکین فوق بحرانی با استفاده از ترکیب‌های زئوتروپیک به عنوان سیالات کاری ارائه داده‌اند. پژوهش آنها نشان داد که چرخه فوق بحرانی می‌تواند به راندمان گرمایی ۱۰/۸ تا ۱۳/۴ درصد با دمای بالای منبع گرمایی ۱۲۰ تا ۲۰۰ سلسیوس دست یابد، در مقایسه با راندمان چرخه آلی رانکین ۹/۷ تا ۱۰/۱ درصد بوده است. آنها مدعی پیشرفت قابل توجه ۱۰ درصدی در راندمان چرخه آلی رانکین شدند.<sup>[۱]</sup>

Harada<sup>[۲]</sup> بر اهمیت رفتار سیال عامل رتروگراد اشاره کرده است. وی از سیال عامل آلی برای برنامه‌های کاربردی در ظرفیت‌های پایین، مانند R-134A (منظم) و R-245fa (رتروگراد) استفاده کرده است.

Nowak و Borsukiewicz Gozdur<sup>[۳]</sup> سیالات کاری پروپیلن، پروپان، R-236fa و R-227ea را مورد مطالعه قراردادند.

(۱) Organic

(۲) Organic Rankin cycle

(۳) High Molecular Mass

(۴) Fluorinol

این گرما توسط یک مبدل صفحه‌ای، این قابلیت کاردهی را با استفاده از چرخه آلی رانکین به توان الکتریکی تبدیل می‌کند. سطح کلکتور سهموی به صورت سهمی ساخته شده و باعث تمکز تابش خورشید و باعث مناسب شدن این نوع کلکتور برای کاربردهای دما بالا خواهد شد که برای تولید الکتریسیته در یک نیروگاه به کار می‌رود.

### انواع سیال‌های کاری

مقایسه عملکرد آب و سیال‌های آلی در کاربردهای دما پایین در ارزیابی چگونگی به کارگیری سیال‌های آلی سودمند است. آب به عنوان انتخابی از سیال کاری برای طیف وسیعی از ماشین‌ها و سامانه‌های تولید توان الکتریکی، چرخه رانکین با سوت فسیلی است. آب با کاربرد دما بالا در این سامانه‌ها بسیار مناسب است، اما آب برای بهره‌برداری در دمای پایین محدودیت‌هایی خودش را دارد. هر چند سیال‌های آلی در بهره‌برداری دما پایین بهتر عمل می‌نمایند. مهم‌ترین تفاوت اصلی بین این دو سیال، نوع رفتار آن‌ها در زمان انبساط است، که از فاز اشباع یا بیش‌گرم در زمان عبور از توربین است. این رفتار بهترین مشاهده برای آزمایش انبساط توربین در این دامنه دمایی می‌باشد. از آنجایی که آب یک سیال تر است، اگر آب در فاز بیش‌گرم نباشد، انبساط آیزنتروپیک<sup>(۶)</sup> آب منجر به کیفیت پایین (کمتر از ۸۰ درصد)، دو فازی می‌شود. جریان با کیفیت پایین درون توربین قابل قبول نیست، زیرا می‌تواند سبب بروز صدمه بارزی به پره‌های توربین و خسارت به تجهیزات شود. از سیال‌های آلی رفتار بسیار متفاوتی در مقایسه با آب دیده شد. از آنجایی که بیشتر سیال‌های آلی خشک یا آیزنتروپیک می‌باشند، انبساط آیزنتروپیک در حالت بخار اشباع یا بخار بیش‌گرم انجام می‌شود که ترکیب دو فازی کمتری در مقایسه با سیال آب دارد. سیال‌های خشک یا آیزنتروپیک، عملکرد را توربین در هنگامی که کیفیت جریان ورودی به توربین پایین است از بین برد و پیچیدگی‌های موجود، در مورد طراحی چرخه را نیز منتفی می‌نمایند. یک سامانه با انعطاف‌پذیری بالا عملکرد بهتری دارد، که از دیگر برتری‌های استفاده از سیال آلی است.

بر طبق مطالعات Lee و همکاران [۱۰] سیال‌های از نوع خشک (سیال‌های دارای شب مثبت) مشکل‌های فشرده‌سازی

رفپراپ<sup>(۱)</sup> ویرایش نهم صورت پذیرفته است. این نرم افزار برای به دست آوردن خواص سیالات و مبردها، که توسط شرکت NIST<sup>(۲)</sup> ساخته شده مناسب است. ابراز به کار رفته دیگر برای رسیدن به هدفهای پژوهش و شیوه‌سازی چرخه تجمیعی کلکتورهای سهموی خورشیدی و چرخه آلی رانکین، نرمافزار ترموفلو<sup>(۳)</sup> ۲۲ می‌باشد. نرمافزار ترموفلو ۲۲ افزون بر قابلیت انجام محاسبات در نقطه طراحی، می‌تواند به منظور شیوه‌سازی شرایط عملیاتی گوناگون مانند شرایط محیطی متفاوت یا بازگیری جزئی<sup>(۴)</sup> مورد استفاده قرار گیرد. چرخه تجمیعی متمنکر کننده‌های سهموی خورشیدی و چرخه آلی رانکین در نسخه ترموفلو<sup>(۵)</sup> طراحی شده است؛ که در شکل ۲ این چرخه دیده می‌شود. توان خروجی سامانه ۲۱۴۰ کیلو وات و منبع گرمایی سامانه انرژی استحصل شده توسط کلکتورهای سهموی خورشیدی است. چرخه در دمای ۲۵۰ درجه سلسیوس مورد بررسی و ارزیابی قرار گرفته که متوسط دمای کلکتورهای سهموی لوله‌ای می‌باشد. فشار ورودی به توربین با توجه به بیشینه سازی راندمان چرخه و خواص سیال انتخاب شده بهینه شده است.

در این مطالعه شهر مورد نظر برای محاسبات تابش خورشید و تغییرات فصل، تهران فرض شده است. بررسی سیالات کاری متفاوت به منظور یافتن بیشترین راندمان خالص در چرخه تجمیعی متمنکر کننده‌های سهموی خورشیدی و چرخه آلی رانکین صورت پذیرفت. راندمان خالص چرخه سیالات ۱23 ، R-113 ، R-141B و R-245ca مورد ارزیابی و محاسبه قرار گرفت و از آن میان سیالی که دارای بیشترین راندمان خالص و توان الکتریکی بود تعیین شد. تغییرات دمای محیط برای تابستان و زمستان، بررسی ارتقای محل نصب و ... مورد بررسی قرار گرفته است.

### انواع کلکتورهای خورشیدی

کلکتور، نوع ویژه‌ای از مبادله کننده انرژی خورشیدی است که انرژی تابشی خورشیدی را به انرژی درونی یک وسیله انتقال دهنده منتقل می‌کند. کلکتور تابش خورشیدی را جذب کرده و آن را به گرما تبدیل کرده و گرما را به سیالی که از میان کلکتور جریان دارد منتقل می‌کند؛ انرژی جمع‌آوری شده از سیال کاری (گرفته شده از خورشید) دارای اکسرژی دمایی می‌باشد، که با انتقال

(۱) REFPROP V.9

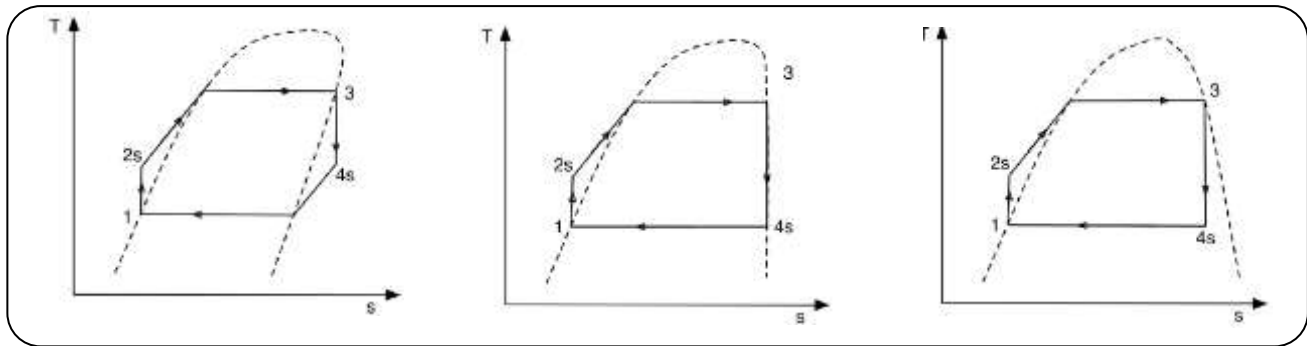
(۲) National Institute of Standards and Technology

(۳) Thermo Flow 22

(۴) Partial Load

(۵) Thermo flex

(۶) Isentropic



شکل ۱- نمودار T-S (الف) سیال خشک (ب) سیال ایزنتروپیک (ج) سیال تر.

سیال، محدودیت‌های ترمودینامیکی را ایجاد می‌نماید که چه مقدار انرژی می‌تواند از منبع گرمایی استخراج شود. همچنین مقدار این انرژی به دمای جریان اتلافی و دمای محیط چگالنده نیز بستگی دارد. بنابراین، سیال کاری می‌تواند بر اساس شیب خط بخار اشباع T-S به سه دسته طبقه‌بندی شود:

- سیالات مرطوب<sup>(۱)</sup>
- سیالات خشک<sup>(۲)</sup>
- سیالات ایزنتروپیک<sup>(۳)</sup>

ئ در واقع شیب خط بخار اشباع نمودار T-S را نشان می‌دهد. در نتیجه:

$- > 0$  نشان می‌دهد که سیال خشک است. مانند: R-113,

R-114, R-218, R-227ea, ...

$- < 0$  نشان می‌دهد که سیال تر است. مانند: آب، آمونیاک،

R-11, R-12, R-134A, R-14, R-143A, ...

$= 0$  نشان می‌دهد که سیال ایزنتروپیک است. مانند:

R-114b, R-123yf, R-116, ...

در شکل ۱ سه نوعه نمودار T-S از این سیال‌ها را نشان می‌دهد که این منحنی‌ها، پایه شکل‌گیری چرخه آلی رانکین است. سیال‌های کاری نوع خشک و ایزنتروپیک برای سامانه‌های چرخه آلی رانکین متداول‌تر و دلخواه‌تر هستند. از آنجایی که هر دوی آن‌ها بعد از انبساط ایزنتروپیک گرما داده می‌شوند. بدین ترتیب مسائل و مشکل‌های برخورد قطرات مایع با تیغه‌های توربین حذف می‌شود.

#### نقاط بحرانی در سیالات کاری

نقطه بحرانی، نقطه اوج خط اشباع در نمودار T-S می‌باشد و ناحیه دمای عملیاتی مناسب برای سیالات کاری را در فاز بخار - مایع مشخص می‌کند.

(۱) Wet

(۲) Dry

در فرایند انبساط توربین را ندارند. این امر تنها زمانی امکان‌پذیر است که بخار ورودی توربین، اشباع باشد. این ویژگی، بهطور معمول در سیال‌های خشک یا آزنتروپیک دیده می‌شود. بنابراین، این نوع از سیال‌ها به جای سیال‌های نوع تر پیشنهاد می‌شوند. آنها همچنین بر این نکته اشاره نمودند، که وزن مولکولی سیال، نقطه‌های جوش طبیعی و فشارهای بحرانی می‌توانند به عنوان ویژگی‌های کلیدی انتخاب، سیال‌های کاری باشند. سیال‌های با وزن مولکولی کمتر از ۹۰ گرم بر مول و نقطه جوش نرمال بین ۶۰۰ تا ۵۷۰ درجه سلسیوس و فشار بحرانی بالاتر از ۳۵ بار به صورت بالقوه برای مهیا کردن توانایی فیزیکی - گرمایی خوب برای سامانه بازیافت انرژی چرخه آلی رانکین مناسب هستند. اثر سیال‌های کاری گوناگون بر راندمان دمایی و کارایی بازیافت گرمایی کلی، توسط Liu و همکاران [۱۰] مورد مطالعه قرار گرفت. از آنجایی که هدف چرخه آلی رانکین، بازیافت دمای درجه کم و تبدیل آن به گشتاور است، این عمل گرمایی شدن سیال تر، به گفته آنان دلخواه و مناسب نیست. بنابراین سیال‌های تر برای سامانه‌های چرخه آلی رانکین مناسب نمی‌باشند. با استفاده از قانون اول و دوم ترمودینامیک، کارایی چرخه آلی رانکین می‌تواند در شرایط کاری گوناگون برای یک سیال کاری اختصاصی به دست بیاید. زمانی که سیال کاری، بخار اشباع است، راندمان دمایی سامانه بهطور معمول با توجه به افزایش فشار ورودی توربین، افزایش می‌یابد. این عامل سبب بازگشت ناپذیری کمتر می‌شود؛ زمانی که دمای منبع ثابت است.

برای سامانه‌هایی با سیال کاری بخار اشباع، با افزایش فشار ورودی توربین، راندمان گرمایی افزایش می‌یابد. زمانی که اختلاف دمای درون یک بویلر ثابت است، فشار ورودی توربین بالاتر سبب بازگشت ناپذیری بالاتر می‌شود. ویژگی‌های ترمودینامیکی

(۳) Isentropic

جدول ۱- طبقه‌بندی سیال‌های عامل بر اساس نقطه‌های بحرانی و شیب خط بخار اشباع با استفاده از نرم افزار رفپراپ ویرایش ۹

نوع سیال	فشار بحرانی (bar)	دمای بحرانی (°C)	سیال کاری	
خشک	۳۳,۹۲۲	۲۱۴,۰۶	R-113	۱
خشک	۳۲,۵۷	۱۴۵,۶۸	R-114	۲
آیزوتروپیک	۳۱,۲۹	۷۹,۹۵	R-115	۳
آیزوتروپیک	۳۶,۶۱۸	۱۸۳,۶۸	R-123	۴
آیزوتروپیک	۳۶,۳۶۳	۱۰۹,۳۷	R-1234ze	۵
آیزوتروپیک	۳۶,۲۴۳	۱۲۲,۲۸	R-124	۶
آیزوتروپیک	۴۰,۵۹۳	۱۰۱,۰۶	R-134a	۷
آیزوتروپیک	۴۲,۱۲	۲۰۴,۳۵	R-141B	۸
آیزوتروپیک	۴۰,۵۵	۱۳۷,۱۱	R-142B	۹
آیزوتروپیک	۳۷,۹۶	۱۵۱,۹۸	بوتان	۱۰
تر	۴۰,۰۵۱	۱۴۶,۱۴	بوتن	۱۱
آیزوتروپیک	۳۶,۱۹	۱۳۴,۶۶	ایزو بوتان	۱۲
تر	۴۰,۰۹۸	۱۴۴,۹۴	ایزو بوتن	۱۳
خشک	۳۳,۷	۱۹۶,۵۵	پنتان	۱۴
خشک	۳۳,۷۸	۱۸۷,۲	ایزو پنتان	۱۵
خشک	۲۶,۴	۷۱,۷۸	R-218	۱۶
آیزوتروپیک	۲۹,۲۵	۱۰۱,۷۵	R-227ea	۱۷
آیزوتروپیک	۳۲	۱۲۴,۹۲	R-236fa	۱۸
تر	۳۵,۰۲	۱۳۹,۲۹	R-236ea	۱۹
آیزوتروپیک	۳۶,۵۱	۱۵۴,۰۱	R-245fa	۲۰
آیزوتروپیک	۳۹,۲۵	۱۷۴,۴۲	R-245ca	۲۱
آیزوتروپیک	۲۷,۷۷۵	۱۱۵,۲۳	RC318	۲۲
خشک	۳۲,۶۶	۱۸۶,۸۵	R-365mfc	۲۳
تر	۳۷,۳۴۸	۷۲,۱۲	R-404A	۲۴
تر	۳۷,۰۴۹	۷۰,۶۱۵	R-507A	۲۵
تر	۲۲,۰۶۴	۳۷۳,۹۵	(۱)R-718	۲۶
تر	۱۱۳,۳۳	۱۳۲,۲۵	(۲)R-717	۲۷

(1) Water , (2) Ammonia (NH<sub>3</sub>)

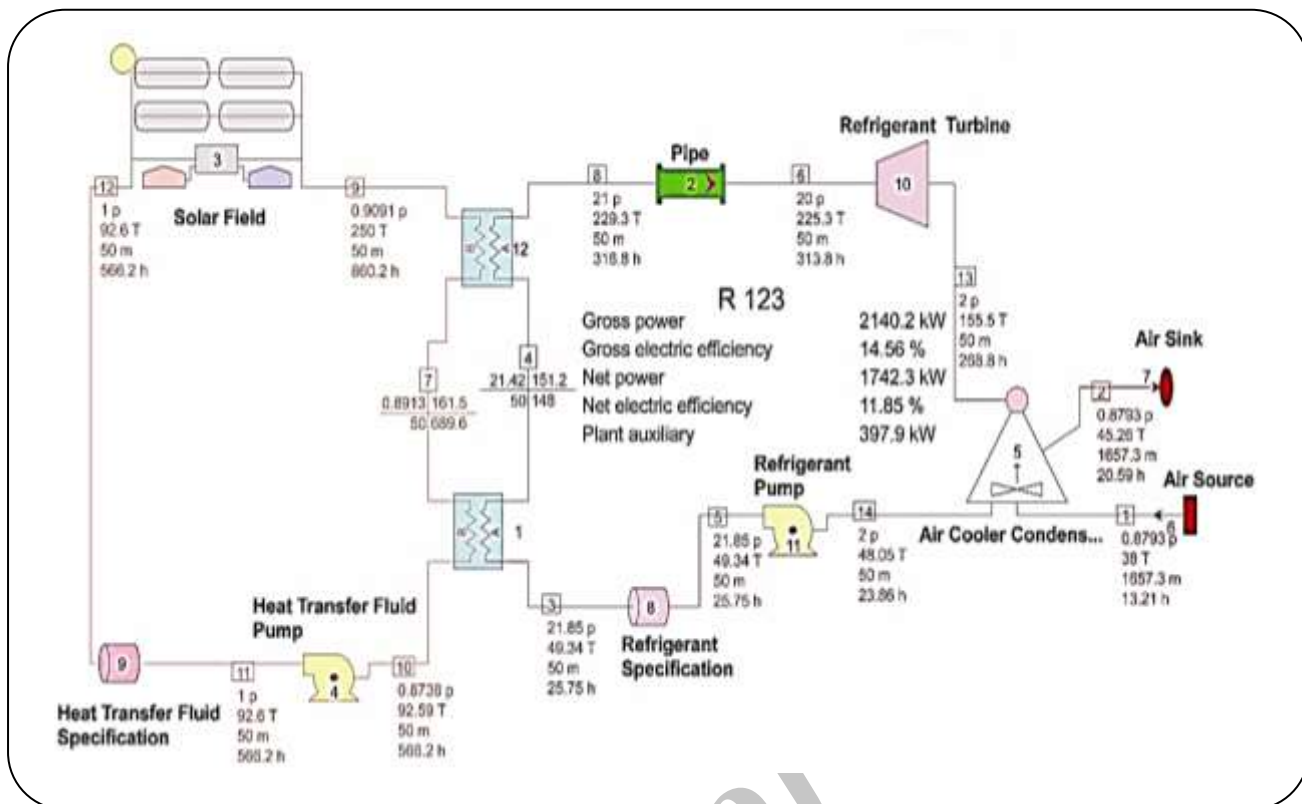
متراکز کننده‌های سهموی خورشیدی و چرخه آلی رانکین که در نرم افزار ترموفلکس تبیه‌سازی شده و مراحل ۱ تا ۱۴ با توجه به واحدهای چرخه در شکل مشخص شده است. سیال کاری R-123 و فشار کاری سیال ۲۰ بار می‌باشد.

اجزای این سامانه از توربین، چگالنده هوا خنک<sup>(۱)</sup>، مبدل گرمایی، پمپ، لوله، کلکتور سهموی لوله‌ای خورشیدی، هوای ورودی و خروجی تشکیل شده است. منبع گرما انرژی استحصال شده از تابش خورشید می‌باشد. شکل ۳ طرح واره کلکتور سهموی

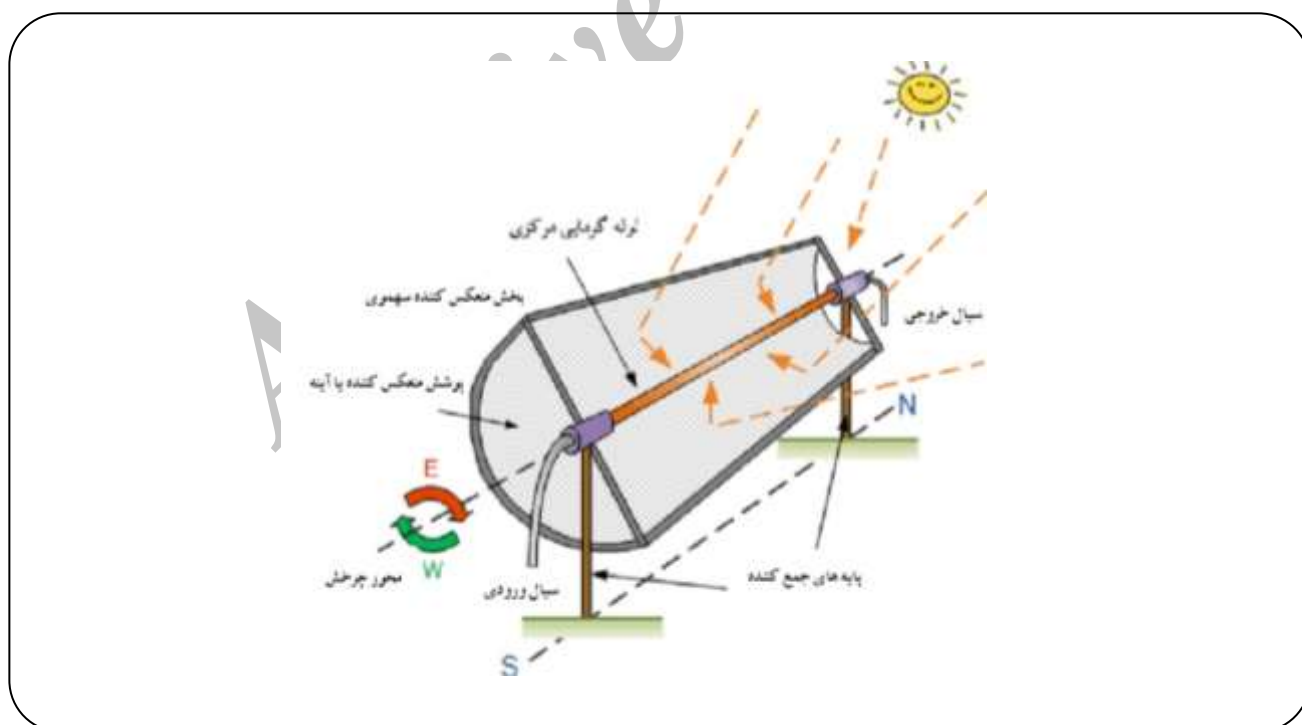
نقطه‌های بحرانی سیالات از جمله اطلاعات تأثیرگذار در انتخاب سیال کاری چرخه آلی رانکین است. در جدول ۱ سیال‌های کاری را بر اساس شیب خط بخار اشباع و نقاط بحرانی طبقه‌بندی می‌کند.

تبیه‌سازی چرخه تجمیعی متراکز کننده‌های سهموی خورشیدی و چرخه آلی رانکین سامانه مورد بررسی با استفاده از ویرایش ۲۲ نرم افزار ترموفلکس تبیه‌سازی شده است. شکل ۲ مدل چرخه تجمیعی

<sup>(۱)</sup> Air Cooler Condensor



شکل ۲- چرخه تجمعی کلکتورهای سهموی خورشیدی و چرخه الی رانکین.



شکل ۳- طرح واره کلکتور سهموی لوله‌ای خورشیدی با جاذب لوله‌ای [۱۱].

**جدول ۲- اطلاعات ورودی چگالنده به نرم‌افزار ترموفلکس در حالت طراحی ترمودینامیکی.**

۲ بار	فشار چگالنده
• °C	دماهی زیر سرد <sup>(a)</sup>
۱۵°C	میزان افزایش دماهی هوا با عبور از چگالنده <sup>(b)</sup>
۱,۲۴۵ millibar	افت رانش هوا در نقطه طراحی <sup>(c)</sup>
۷۸,۳%	راندمان فن

*(a) Condensate subcooling**(b) Air temperature rise through condenser**(c) Design point air draft loss*

**جدول ۳- اطلاعات ورودی توربین به نرم‌افزار ترموفلکس.**

۲۰ بار	نقطه فشار تنظیمی در نقطه طراحی <sup>(a)</sup>
۹۹%	راندمان مکانیکی در نقطه طراحی <sup>(b)</sup>
۸۵%	راندمان ایزنتروپیک در نقطه طراحی <sup>(c)</sup>

*(a) Design point set point pressure**(b) Design point mechanical efficiency**(c) Design point isentropic efficiency*

شدت جریان جرمی چرخه است که هم برای چرخه آلی رانکین و هم برای سمت خورشیدی شدت جریان  $50 \text{ kg/s}$  انتخاب شد.

#### داده‌های ورودی مبدل

انتخاب مبدل حرارتی در حالت طراحی ترمودینامیکی در نرم‌افزار ترموفلکس امکان‌پذیر نیست. اما پارامترهای انتخابی همچون نقطه پینچ پارامتری است که انتخاب ما در نوع مبدل با توجه به افزایش یا کاهش آن تعییر می‌دهد. با توجه به بررسی‌های انجام شده و براساس استاندارد TEMA، و فشار کاری چرخه که برابر  $20 \text{ bar}$  در بررسی اولیه چرخه، در نظر گرفته شده است؛ مبدل گرمایی صفحه‌ای انتخاب شد. در چرخه مورد بحث دو مبدل به کار گرفته شده است. در جدول ۴ داده‌های ورودی به نرم‌افزار نشان داده شده است. سیال کاری آلی R-123 در مسیر A عبور می‌کند و سیال کاری مسیر B سیلیکون ترمال در  $800 \text{ mJ}$  باشد. جدول ۴ شامل کارایی گرمایی مبدل، افت فشار در دو سمت مبدل، حداقل دماهی پینچ و اتلاف گرمایی مبدل می‌باشد.

<sup>(۱)</sup> Net electrical efficiency<sup>(۲)</sup> Plant auxiliary<sup>(۳)</sup> Net electrical efficiency<sup>(۴)</sup> Gross power

لوله‌ای خورشیدی را نشان می‌دهد. در مدل شیمی‌سازی شده توسط نرم‌افزار با توجه به دمای مورد نیاز در سامانه، نسبت سطح انعکاسی کلکتور به سطح دریافت کننده تعریف شده است.

#### داده‌های ورودی به نرم‌افزار ورودی چگالنده

چگالنده مورد انتخاب چگالنده هوا خنک می‌باشد. از برتری‌های آن نیاز نداشتن به آب برای خنک کردن سیال کاری و ورود سیال کاری چرخه به چگالنده هوا خنک است. جدول ۲ شامل فشار چگالنده، دمای ورودی هوا و راندمان فن می‌باشد.

#### داده‌های ورودی توربین

فشار ورودی توربین از پارامترهای تأثیرگذار است. جدول ۳ شامل فشار ورودی توربین، راندمان مکانیکی و ایزنتروپیک می‌باشد. فشار ورودی توربین در واقع فشار کاری چرخه می‌باشد و فشاری کاری چرخه بر روی پارامترهای زیر تأثیرگذار است.

۱. نوع مبدل انتخابی
۲. راندمان خالص چرخه<sup>(۱)</sup>
۳. افزایش توان الکتریکی مصرف شده چرخه<sup>(۲)</sup>

#### ورودی سیال کاری

سیال کاری مورد انتخاب در چرخه آلی رانکین پس از بررسی‌ها و قرار دادن تابع هدف‌هایی همچون پارامترهای زیر:

- راندمان خالص چرخه آلی رانکین<sup>(۳)</sup>
- توان تولیدی چرخه<sup>(۴)</sup>
- توان الکتریکی مصرف شده چرخه<sup>(۵)</sup>

سیال کاری R-123-R گزینه انتخابی مناسب برای چرخه با توجه دامنه دمای عملکرد است. ویژگی‌های این سیال که از نرم‌افزار رفیراپ<sup>(۶)</sup> ویرایش ۹ استخراج شده است. سیال کاری انتخاب شده برای چرخه خورشیدی روغن سیلیکون ترمال  $800 \text{ mJ}$  می‌باشد. این سیال در دامنه دمایی  $-40 \text{ }^{\circ}\text{C}$  تا  $398.9 \text{ }^{\circ}\text{C}$  به عنوان یکی از بهترین سیال‌های معمول در متراکز کننده‌های سهموی خورشیدی به کار رفته است. یکی دیگر از پارامترهای ورودی در بخش

<sup>(۱)</sup> Plant auxiliary<sup>(۲)</sup> REFPROP V.9<sup>(۳)</sup> SYLTHERM 800 LIQUID

جدول ۴- اطلاعات ورودی مبدل گرمایی به نرمافزار ترموفلکس در حالت طراحی ترمودینامیکی.

۹%	کارایی گرمایی <sup>(a)</sup>
۲%	مسیر الف افت فشار در طراحی <sup>(b)</sup>
۳%	مسیر ب افت فشار در طراحی <sup>(c)</sup>
۲ °C	دما پینچ کمینه در طراحی <sup>(d)</sup>
۱٪	گرمای اتلافی متعادل سازی شده <sup>(e)</sup>

(a) Thermal effectiveness, (b) A path pressure drop at design

(c) B path pressure drop at design, (d) Minimum pinch at design

(e) Normalized heat loss

جدول ۵- اطلاعات ورودی محیطی به نرمافزار ترموفلکس برای زمستان.

۱۱۸۰ m	ارتفاع محل <sup>(a)</sup>
-۴۶ °C	دما محیط <sup>(b)</sup>
۷۴٪	رطوبت نسبی محیط <sup>(c)</sup>
-۵۶ °C	دما مرطوبت محیط <sup>(d)</sup>
۰,۸۷۹۳	فشار محیط <sup>(e)</sup>

(a) Site altitude, (b) Ambient temperature

(c) Ambient relative humidity, (d) Ambient wet bulb temperature

(e) Ambient pressure

جدول ۶- اطلاعات ورودی محیطی به نرمافزار ترموفلکس برای تابستان.

۱۱۸۰ m	ارتفاع محل
۳۸ °C	دما محیط
۱۹,۵۴٪	رطوبت نسبی محیط
۱۹,۸۹ °C	دما مرطوبت محیط
۰,۸۷۹۳	فشار محیط

جدول ۷- اطلاعات ورودی کلکتور سهموی خورشیدی به نرمافزار ترموفلکس.

۲۵۰ °C	دما خروجی تحویلی از مزرعه خورشیدی <sup>(a)</sup>
۱۰٪	افت فشار فرض شده برای سیال در مزرعه خورشیدی <sup>(b)</sup>

(a) Desired temperature at solar field exit

(b) Assumed fluid pressure drop in solar field

### ورودی های محیطی

المان های محیطی مانند دمای محیط، ارتفاع از سطح دریا، رطوبت محیط از جمله پارامترهای تأثیرگذار بر روی توان الکتریکی تولیدی چرخه، راندمان خالص چرخه و... هستند. داده های ورودی برای شبیه سازی در فصل تابستان و زمستان در جدول های ۵ و ۶ نشان داده شده است. شهر مورد مطالعه برای طراحی، تهران در نظر گرفته شده است.

جدول شامل ارتفاع از سطح دریا، دمای محیط، رطوبت نسبی، دمای حباب خیس محیط و فشار محیط می باشد.

### ورودی کلکتور خورشیدی

کلکتور خورشیدی مورد انتخاب سهموی است. در حالت طراحی ترمودینامیکی کلیه ضرایب خورشیدی را از اطلاعات محیطی نرمافزار به دست می آورد. جدول ۷ شامل دمای خروجی از کلکتور خورشیدی افت فشار کلکتورها می باشد.

### ورودی لوله

المان لوله چرخه آلی رانکین برای نزدیکتر شدن چرخه به واقعیت است. با در نظر گرفتن افت فشار و اتلاف گرمایی در کل چرخه این موارد را لحاظ می کند. جدول ۸ شامل افت فشار لوله و اتلاف گرمایی می باشد.

### بررسی پارامتر فشار چرخه آلی رانکین

برای بهبود راندمان چرخه آلی رانکین یکی از راهکارها افزایش فشار کاری چرخه است. زمانی که فشار کاری چرخه بیشتر از فشار بحرانی سیال شود به این چرخه فوق بحرانی رانکین گویند. نقطه فشار بحرانی و دما بحرانی در سیال های گوناگون، متفاوت است. فشار و دما بحرانی سیالات متفاوت را می توان از جداول ترمودینامیکی استخراج کرد؛ اما در این مقاله تمام خواص سیالات از نرمافزار رپرایپ ویرایش ۹ گرفته شده است. در جدول ۹ مقایسه دو فشار کاری سیال R-123 و در محیط نرم افزار ترموفلکس شبیه سازی شده، ارائه شده است.

### بررسی فشار سیال کاری چرخه آلی رانکین

در این بخش بررسی اثر تغییر فشار سیال کاری چرخه آلی رانکین انجام می شود. این مقایسه به منظور یافتن تأثیر فشار کاری های متفاوت بر روی راندمان خالص چرخه، توان الکتریکی تولیدی و ...

## جدول ۸ - اطلاعات ورودی لوله به نرم‌افزار ترموفلکس.

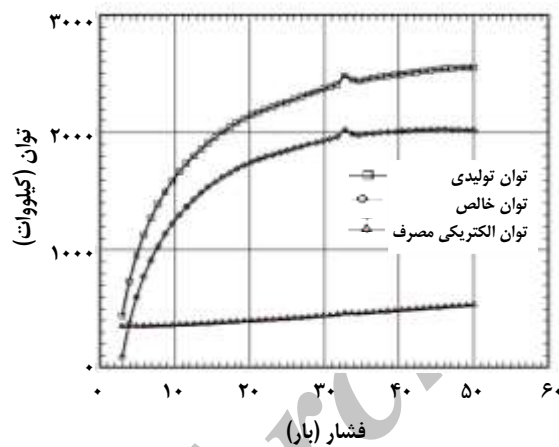
۵%	افت فشار فرض شده برای حالت طراحی ترمودینامیکی <sup>(a)</sup>
۳ kJ/kg	گرمای اتلافی <sup>(b)</sup>

(a) Assumed pressure drop for TD (Thermodynamic Design) mode (as of exit pressure), (b) Heat loss

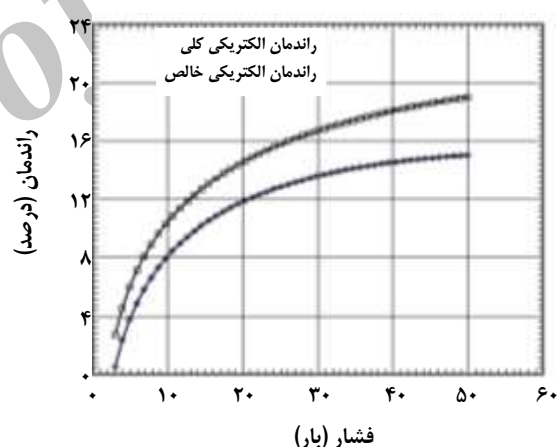
## جدول ۹ - مقایسه دو فشار کاری سیال R-123.

فشار ۴۸ بار	فشار ۱۵ بار	عنوان
۲۳۷۰.۵	۱۷۳۰.۷	توان تولیدی چرخه <sup>(a)</sup> (kW)
۱۸۷۰.۳٪	۱۱.۸۷٪	راندمان کلی چرخه <sup>(b)</sup>
۱۹۶۷	۱۴۹۸.۱	توان خالص تولیدی <sup>(c)</sup> (kW)
۱۴۹۶٪	۱۰.۲۳٪	راندمان خالص چرخه <sup>(d)</sup> (%)
۴۰.۳٪	۲۳۲.۶	توان الکتریکی مصرف شده چرخه <sup>(e)</sup> (kW)
۲.۵	۲.۵	فشار چگالنده <sup>(f)</sup> (Bar)

(a) Gross power, (b) Gross electric efficiency, (c) Net power, (d) Net electrical efficiency, (e) Plant auxiliary, (f) Condenser pressure.



شکل ۵ - اثر تغییر فشار سیال کاری نرم‌افزار ترموفلکس.



شکل ۴ - اثر تغییر فشار سیال کاری نرم‌افزار ترموفلکس.

## مقایسه سیال‌های کاری متفاوت

مقایسه سیال‌های آلی متفاوت به منظور یافتن مناسب‌ترین سیال آلی که با دمای ۲۵۰ درجه سلسیوس و فشار کاری ۴۸ بار چرخه تجمیعی متمرکز کننده‌های سهموی خورشیدی و چرخه آلی رانکین مناسب باشد. این مقایسه با داده محیطی شرایط طرح تابستانی که در جدول ۶ ارایه شد، انجام گرفته است. نتیجه‌های مورد مقایسه در قالب نمودار نیز آورده شده است. در جدول ۱۳ نتیجه‌های شبیه‌سازی چرخه تجمیعی متمرکز کننده‌های سهموی خورشیدی

انجام گرفته است. سیال کاری مورد بحث R-123 است. شکل‌های ۴ و ۵ حاصل خروجی شبیه‌سازی چرخه تجمیعی متمرکز کننده‌های سهموی خورشیدی و چرخه آلی رانکین ارائه شده است. در این نمودارها ۵۰ مورد فشار سیال کاری از فشار ۳ تا ۵۰ بار چرخه مورد بررسی قرار گرفته است. منظور از تغییر فشار، تغییر فشار سیال کاری چرخه آلی رانکین است که برای تغییر آن در نرم‌افزار ترموفلکس با تغییر فشار ورودی به توربین در نرم‌افزار می‌توان اثرات آن را بر روی سایر پارامترها دید.

جدول ۱۰- گزارش خروجی نرم افزار ترموفلکس از چرخه تجمیعی.

SYSTEM SUMMARY				
Ambient pressure = 0.8793 bar Temperature = -4.44 C RH = 74 %				
Net fuel input	Unit [kW]	LHV	HHV	
Gross heat rate	[kJ/kWh]	28258	15856	
Net heat rate	[kJ/kWh]	32655	32655	
Gross electric efficiency	[%]	12.74		
Net electric efficiency	[%]	11.02	11.02	
CHP efficiency	[%]	11.02		
PURPA efficiency	[%]	11.02		
Gross power	[kW]	2019.9		
Net power	[kW]	1748		
Total auxiliaries	[kW]	272		
Net process heat output	[kW]	0		
POWER DEVICE(S)				
Generator	Component	Shaft No.	Shaft [kW] Eff [%]	Output [kW]
	Refrigerant Turbine[10]		2104.3	
Generator[1]		1	2104.3	95.99
Total Generator(s)				2019.9
AUXILIARY DEVICE(S)				
Component	Shaft [kW]	Shaft No.	Motor	Eff [%]
Air-cooled Condenser(general)[5]: Fan				128.3
Pump(PCE)[4]: Power				1.2
Pump(PCE)[11]: Power				122.3
Solar Field w/ Storage[3]: Aux				0
Total components auxiliaries				251.8
Total miscellaneous auxiliary				20.2
Total plant auxiliary				272
HEAT DEVICE(S)				
Component	[kW]			
Gas/Air Source[6]	0			Not Considered
Solar Field w/ Storage[3]	15855.6			Chargeable as Fuel(LHV)
Gas/Air Sink[7]	13533.8			Not Considered

به طور معمول تلفات بار الکتریکی وجود دارد. در بخش سوم توان الکتریکی مصرف شده هر بخش از چرخه و در بخش چهارم مقدار گرمای تولیدی و داده شده به محیط نشان داده شده است در جدول ۱۱ موازنۀ گرمایی چرخه برای اجزای گوناگون اورده شده است. عده‌های منفی مصرف توان الکتریکی و مثبت تولید توان الکتریکی می‌باشد. همچنین در ادامه جدول ۱۱ موازنۀ جرمی نیز نشان داده شده است. این موازنۀ هوای ورودی به چگالنده هوا خنک که ۸۹۳،۱ کیلوگرم بر ثانیه است، را نشان می‌دهد. جدول ۱۲ توان الکتریکی مصرف شده چرخه است که مقدار توان الکتریکی هر یک از تجهیزات بر حسب کیلووات اشاره شده است.

و چرخه آلی رانکین در نرم افزار ترموفلکس با سیالات کاری متفاوت است در انتهای جدول مقدار بیشینه و کمینه هر ستون آورده شده است. جدول ۹ نتیجه‌های خروجی چرخه تجمیعی مورد بحث را نشان می‌دهد. در این جدول موردهایی همچون راندمان خالص چرخه آلی رانکین، توان تولیدی چرخه، توان الکتریکی مصرف شده چرخه و... ارایه شده است.

جدول ۱۰ گزارش خروجی نرم افزار ترموفلکس از چرخه تجمیعی می‌باشد. جدول شامل چهار بخش است که در بخش اول خلاصه‌ای از مؤلفه‌های سامانه که توان تولیدی چرخه و راندمان کل و خالص و... ارایه شده و در بخش دوم کیلووات تولیدی کل چرخه که به ژنراتور منتقل می‌شود نشان داده شده است. در این انتقال

جدول ۱۱- گزارش موازنۀ حرارتی و جرمی چرخه تجمیعی نرم‌افزار ترموفلکس.

HEAT BALANCE			
Component		[kW]	[kW]
Air-cooled Condenser(general)[5]	Heat input	-1.16	
Gas/Air Sink[7]	Heat removed/lost		-13026.00
Gas/Air Source[6]	Heat input	-26559.00	
General HX[1]	Heat removed/lost		80.11
General HX[12]	Heat removed/lost		78.46
Pipe(PCE)[2]	Heat removed/lost		150.00
Pump(PCE)[4]	Pumping power	0.95	
Pump(PCE)[11]	Pumping power	112.40	
Refrigerant Turbine[10]	Expansion power		2125.60
Solar Field w/ Storage[3]	Heat input	15856.00	
Total Energy Input		-10592.00	
Total Energy Output			-10591.00
Cycle Heat Balance Error			0.17

MASS BALANCE			
Component		[kg/s]	[kg/s]
Air-cooled Condenser(general)[5]	Mass flow in	0.00	
Gas/Air Sink[7]	Mass flow out		893.10
Gas/Air Source[6]	Mass flow in	893.10	
Total Mass Flow In		893.10	
Total Mass Flow Out			893.10

رانکین برای افزایش بهره‌وری چرخه فشار چرخه آلى رانکین را به ۴۴ بار افزایش داده شده است. این تعییر فشار نه تنها منجر به افزایش در راندمان خالص چرخه شده بلکه به افزایش توان الکتریکی تولیدی نیز منجر شده است. در جدول ۱۵ برای چند سیال کاری متفاوت تأثیر به کارگیری مبدل تولید دوباره و فشار فوق بحرانی در چرخه تجمیعی متمرکز کننده‌های سهموی خورشیدی و چرخه آلى رانکین برای افزایش بهره‌وری چرخه بررسی شده است.

### مبدل گرمایی

عامل مهم دیگری که بر اجرای و بهره‌برداری از چرخه آلى رانکین تأثیر می‌گذارد؛ مبدل گرمایی به کار رفته در چرخه آلى رانکین می‌باشد. در واقع یک مبدل با کارایی مناسب در بالاتر بردن راندمان حرارتی تأثیر بهسزایی دارد. زمانی نقش مبدل در چرخه پرنگ‌تر می‌شود که از منابع گرمایی مانند گرمایی خورشیدی،

**بررسی به کارگیری مبدل تولید دوباره**  
در جدول ۱۴ به بررسی به کارگیری مبدل تولید دوباره در چرخه تجمیعی متمرکز کننده‌های سهموی خورشیدی و چرخه آلى رانکین انجام شده است. همان‌گونه که در جدول ۱۴ ارایه شده با به کارگیری این مبدل، راندمان خالص چرخه و توان تولیدی و... افزایش یافته است. بررسی نوع مبدل به کار رفته در ادامه انجام شده است. این بررسی بر روی سیال آلی R-113-113-R انجام شده است. جدول شامل توان الکتریکی تولیدی، راندمان چرخه آلى رانکین، توان الکتریکی خالص، راندمان خالص چرخه، توان الکتریکی مصرف شده و فشار چگالنده می‌باشد.

**بررسی به کارگیری مبدل تولید دوباره و فشار فوق بحرانی**  
در شکل ۷ افزون بر به کارگیری مبدل تولید دوباره در چرخه تجمیعی متمرکز کننده‌های سهموی خورشیدی و چرخه آلى

جدول ۱۲- توان الکتریکی مصرف شده چرخه.

عنوان	%	توان مصرفی (kW)
پمپ (۴)	۰,۴۳	۱۱۷۷
پمپ (۱۱)	۴۴,۹۶	۱۲۲,۳
کندانسور هوا خنک (۵)	۴۷,۱۸	۱۲۸,۳
کمکی	۷,۴۳	۲۰,۲

جدول ۱۳- نتیجه شبیه‌سازی چرخه تجمیعی متراکم کننده‌های سهمی خورشیدی و چرخه آلی رانکین در نرم افزار ترموفلکس با سیال‌های کاری متفاوت.

نوع سیالات	توان تولیدی چرخه kW	توان خالص تولیدی kW	راندمان کلی چرخه %	راندمان خالص چرخه %	توان الکتریکی مصرف شده kW چرخه
R-113	۱۸۳۶,۶	۱۴۷۱,۳	۱۷,۷۴	۱۴,۲۱	۳۶۵,۳
R-114	۱۳۵۷	۷۹۶,۳	۱۴,۴۷	۸,۴۹	۵۶۰,۷
R-115	۱۱۴۵,۲	۵۲۸,۷	۹,۲۳۷	۴,۲۶۴	۶۱۶,۵
R-123	۲۵۸۰,۷	۲۰۵۱,۹	۱۹,۰۸	۱۵,۱۷	۵۲۸,۷
R-1234ze	۱۲۳۴,۵	۷۸۲,۵	۱۲,۵۴	۷,۹۴۷	۴۵۲
R-124	۱۶۹۴,۷	۱۱۰۹,۳	۱۴,۳۲	۹,۳۷۵	۵۸۵,۴
R-134a	۱۶۲۵,۷	۹۹۴,۵	۱۱,۸۹	۷,۲۷۵	۶۳۱,۳
R-141B	۲۷۱۳,۷	۲۲۲۵,۴	۱۹,۰۳	۱۵,۸۳	۴۸۸,۳
R-142B	۲۳۸۶,۵	۱۵۷۵,۶	۱۶,۰۴	۱۰,۰۹	۸۱۰,۸
بوتان	۲۵۴۸,۷	۱۶۳۳,۲	۱۴,۴۷	۹,۰۲۷۵	۹۱۵,۴
بوتن	۲۵۷۵,۹	۱۶۸۸,۶	۱۴,۶۶	۹,۶۱	۸۸۷,۳
ایزو بوتان	۲۶۶۳	۱۳۵۹	۱۴,۷۶	۷,۵۳۳	۱۳۰,۴
ایزو بوتن	۲۵۶۵	۱۶۴۷,۸	۱۴,۵۱	۹,۰۳۲۳	۹۱۷,۲
پنتان	۱۱۰۲,۷	۳۷۰,۱	۹,۸۳۱	۳,۳	۷۳۲,۵
ایزو پنتان	۱۶۹۱,۵	۹۱۵,۹	۱۱,۹۶	۶,۴۷۳	۷۷۵,۶
R-218	۷۰۹	۲۷۰,۷	۸,۹۲۹	۳,۴۰۹	۴۳۸,۳
R-227ea	۱۳۵۰,۴	۶۸۳	۱۱,۷۶	۵,۹۵	۶۶۷,۴
R-236fa	۲۰۱۴,۲	۱۱۸۸,۱	۱۳,۸۶	۸,۰۱۷۴	۸۲۶,۲
R-236ea	۱۹۹۹,۵	۱۵۵۶,۳	۱۳,۸۵	۱۰,۰۷۸	۴۴۳,۲
R-245fa	۱۴۵۱,۵	۸۷۲,۶	۱۴,۸	۸,۸۹۶	۵۷۹
R-245ca	۲۸۶۹,۴	۱۹۴۲,۲	۱۷,۰۳	۱۱,۸۷	۹۲۷,۲
RC318	۱۵۳۷,۱	۹۸۱,۲	۱۱,۰۶	۷,۳۷۹	۵۵۵,۹
R-365mfc	۲۴۸۳,۷	۲۰۱۰,۱	۱۶,۰۴	۱۳,۰۱۴	۴۷۳,۶
R-404A	۱۱۰۱,۴	۵۹۷,۴	۷,۰۲۸	۳,۰۹۲	۵۰۴
R-507A	۱۰۲۶,۷	۵۵۶,۲	۶,۸۷۲	۳,۰۷۲۳	۴۷۰,۵
بیشینه	۲۸۶۹,۴	۲۲۲۵,۴	۱۹,۰۳	۱۵,۰۸۳	۱۳۰,۴
کمینه	۷۰۹	۲۷۰,۷	۶,۸۷۲	۳,۳	۳۶۳

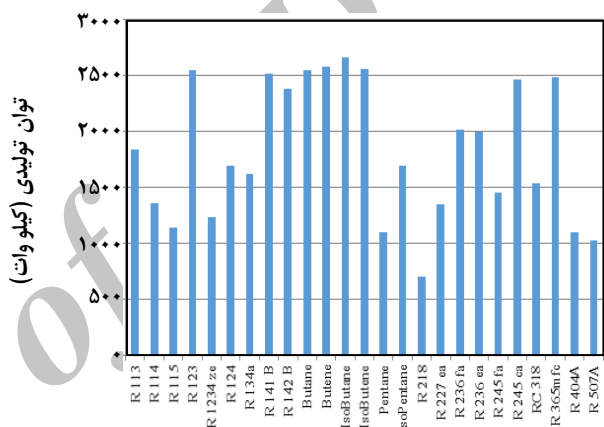
جدول ۱۴- بررسی به کارگیری مبدل تولید دوباره.

عنوان	فشار	چرخه پایه در فشار ۲۰ بار	چرخه با مبدل تولید مجدد در فشار ۲۰ بار
توان تولیدی چرخه (kW)	توان تولیدی چرخه	۲۱۴۰،۲	۱۷۲۸،۷
راندمان کلی چرخه	راندمان کلی چرخه	۱۴،۵۶٪	۱۷،۵۸٪
توان خالص تولیدی (kW)	راندمان خالص چرخه	۱۷۴۲،۳	۱۵۳۳
راندمان خالص چرخه	راندمان خالص چرخه	۱۱،۸۵٪	۱۵،۵۹٪
توان الکتریکی مصرف شده چرخه (kW)	توان الکتریکی مصرف شده چرخه	۳۹۷،۹	۱۹۵،۷
فشار چگالنده (bar)	فشار چگالنده	۲	۳

با بررسی‌های انجام شده و جدول ۱۲ استفاده از مبدل گرمایی پوسته - لوله راندمان بالاتر داشته و توان الکتریکی بیشتری تولید می‌کند. مقایسه برتری‌ها و عیوب‌های این دو مبدل گرمایی در جدول ۱۶ انجام شده است. برای تولید دوباره به دلیل پایین بودن فشار می‌توان از مبدل گرمایی قاب و صفحه‌ای استفاده نمود. دلیل آن، پایین بودن این فشار بعد از توربین و بودن این مبدل قبل از پمپ می‌باشد.

#### بررسی تأثیر ارتفاع

در این بخش اثر تغییر ارتفاع که یک پارامتر محیطی است با بررسی ۳۰ مورد از ارتفاع ۰ متری تا ارتفاع ۲۵۰۰ متری مورد بررسی قرار گرفته است. این مقایسه به منظور یافتن تأثیر ارتفاع‌های متفاوت بر روی راندمان خالص چرخه، توان الکتریکی تولیدی و ... انجام گرفته است. سیال کاری مورد بحث ۱۲۳-R است. شکل‌های ۸ و ۹ به دست آمده از خروجی شیمی‌سازی چرخه تجمیعی متمرکز کننده‌های سهموی خورشیدی و چرخه آلی رانکین هستند. منظور از تغییر ارتفاع، تغییر ارتفاع از سطح دریا است که برای تغییر آن در نرم‌افزار ترموفلکس با تغییر ارتفاع محیط در نرم‌افزار می‌توان اثرات آن را بر روی سایر پارامترها دید افزایش ارتفاع محل نصب از ۰ متر از سطح دریا به ۲۵۰۰ متر سبب کاهش توان الکتریکی تولیدی خالص چرخه آلی رانکین از ۲۰۲۳ کیلووات به ۱۹۹۹،۵ کیلو وات شده است. همچنین افزایش ارتفاع محل نصب از ۰ متر از سطح دریا به ۲۵۰۰ متر سبب کاهش راندمان چرخه از ۱۹،۱۷ به ۱۸،۹۵ شده است، همان‌گونه که در نمودار ۵ نشان داده با افزایش ارتفاع راندمان کل و خالص چرخه آلی رانکین کاهش یافته است.



شکل ۶- توان تولیدی کلی چرخه تجمیعی متمرکز کننده‌های سهموی خورشیدی و چرخه آلی رانکین.

بازیافت گرمای اتلافی، گرمای به دست آمده از سوختن زیست‌توده زمین گرمایی و... برای تولید الکتریسیته در چرخه آلی رانکین به کار برد می‌شود. انتخاب مبدل‌های گرمایی در چرخه آلی رانکین به طور مستقیم به فشار چرخه بستگی دارد. بررسی‌های انجام شده برای انتخاب نوع مبدل گرمایی برای چرخه به این صورت می‌باشد، اگر فشار کاری چرخه در حدود ۲۰ بار باشد؛ می‌توان از مبدل فشرده قاب و صفحه‌ای جوشی استفاده نمود. از جمله برتری‌های این نوع مبدل حرارتی بازده بالای حرارتی در انتقال گرماء، حجم کم، دمای پینچ پایین در حدود ۲ درجه سلسیوس که سبب افزایش بهره‌وری می‌شود؛ می‌توان نام برد. اما اگر فشار کاری چرخه چیزی در حدود ۴۰ بار باشد؛ استفاده از مبدل گرمایی پوسته و لوله توسعه می‌شود. همان‌گونه که در بررسی‌های گذشته گفته شد؛ فوق بحرانی کردن چرخه سبب افزایش بازدهی و توان الکتریکی چرخه می‌شود.

جدول ۱۵- نتیجه‌های شبیه‌سازی چرخه تجمیعی بهبود یافته با تولید دوباره متمرکز کننده‌های سهمی خورشیدی و چرخه آلی رانکین با سیال‌های کاری متفاوت.

نوع سیال	توان تولیدی چرخه kW	راندمان کلی چرخه %	توان خالص تولیدی kW	راندمان خالص چرخه %	توان مصرف شده چرخه kW
R-113	۱۸۳۲	۲۰.۹۵	۱۴۸۶.۶	۱۷	۳۴۵.۴
R-114	۱۹۰۰.۴	۲۳.۸۷	۱۴۳۶.۱	۱۸.۰۴	۴۶۴.۲
R-123	۲۵۸۷.۶	۲۴	۲۱۱۷.۶	۱۹.۵۴	۴۷۰
R-124	۱۶۷۶.۹	۱۹.۴۶	۱۱۸۸.۳	۱۳.۷۹	۴۸۸.۶
R-141 B	۲۷۰۳.۶	۲۰.۱۴	۲۲۲۳.۸	۱۶.۵۶	۴۷۹.۸
R-142 B	۲۳۶۳.۵	۱۹.۹	۱۶۶۳.۷	۱۴.۰۱	۶۹۹.۸
بوتان	۲۵۱۹.۴	۱۴.۳۱	۱۶۰۳.۵	۹.۱۰۶	۹۱۵.۸
بوتزن	۲۵۴۶	۱۴.۴۹	۱۶۵۸.۱	۹.۴۳۷	۸۸۷.۹
ایزو بوتان	۲۶۴۵.۵	۱۴.۷۶	۱۳۴۵.۵	۷.۵۰۶	۱۳۰۰.۱
ایزو بوتن	۲۵۳۵	۱۴.۳۴	۱۶۱۷.۲	۹.۱۵	۹۱۷.۹
ایزو پیتان	۱۶۶۶.۴	۱۱.۷۸	۸۹۰.۵	۶.۲۹۲	۷۷۵.۹
R-236 fa	۱۹۹۷.۲	۲۲۰۷	۱۴۰۵.۵	۱۵.۰۵۳	۵۹۱.۷
R-236 ea	۱۹۸۲.۸	۲۱.۷۵	۱۶۰۸.۹	۱۷.۶۵	۳۷۳.۹
R-245fa	۱۴۳۸.۳	۱۴.۶۷	۸۵۹.۱	۸.۷۶	۵۷۹.۲
R-245ca	۲۸۶۹.۴	۱۷.۵۳	۱۹۴۲.۲	۱۱.۸۷	۹۲۷.۲
RC318	۱۵۳۰.۷	۲۳.۹۴	۱۱۵۹.۱	۱۸.۰۲	۳۷۸.۸
R-365mfc	۲۴۸۳.۷	۱۶.۲۴	۲۰۱۰.۱	۱۳.۱۴	۴۷۳.۶
بیشینه	۲۸۶۹.۴	۲۴	۲۲۲۳.۸	۱۹.۵۴	۱۳۰۰.۱
کمینه	۱۴۳۸.۳	۱۱.۷۸	۸۵۹.۱	۶.۲۹۲	۳۴۵.۴

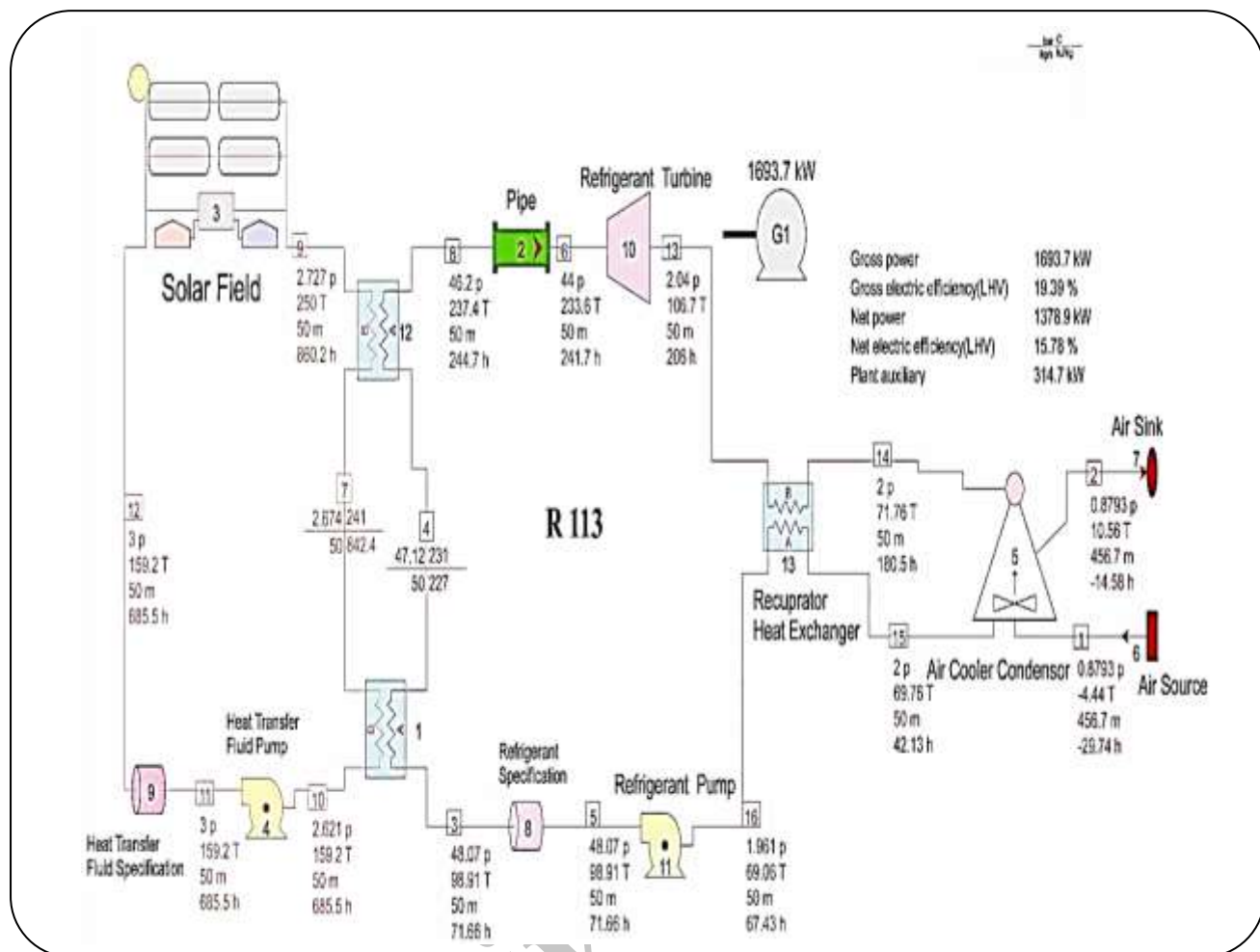
بررسی تأثیر دمای محیط به صورت فصلی و برای چند سیال کاری بررسی شده است؛ در جدول‌های ۱۷ و ۱۸ دمای محیط و رطوبت نسبی نسبی برای تابستان و زمستان مورد مقایسه قرار گرفته است. در شکل‌های ۱۰ و ۱۱ تأثیر تغییرات دما و رطوبت را بر روی راندمان خالص، مصرف درونی توان الکتریکی، توان الکتریکی خالص و... چرخه آلی رانکین را نشان می‌دهد.

بررسی تأثیر دمای محیط در دو فصل زمستان و تابستان و برای پنج سیال کاری بررسی شده است؛ در جدول ۱۷ نتیجه‌های شبیه‌سازی چرخه متمرکز کننده‌های سهمی خورشیدی و چرخه آلی رانکین در نرم‌افزار ترموفلکس با تغییر سیال کاری

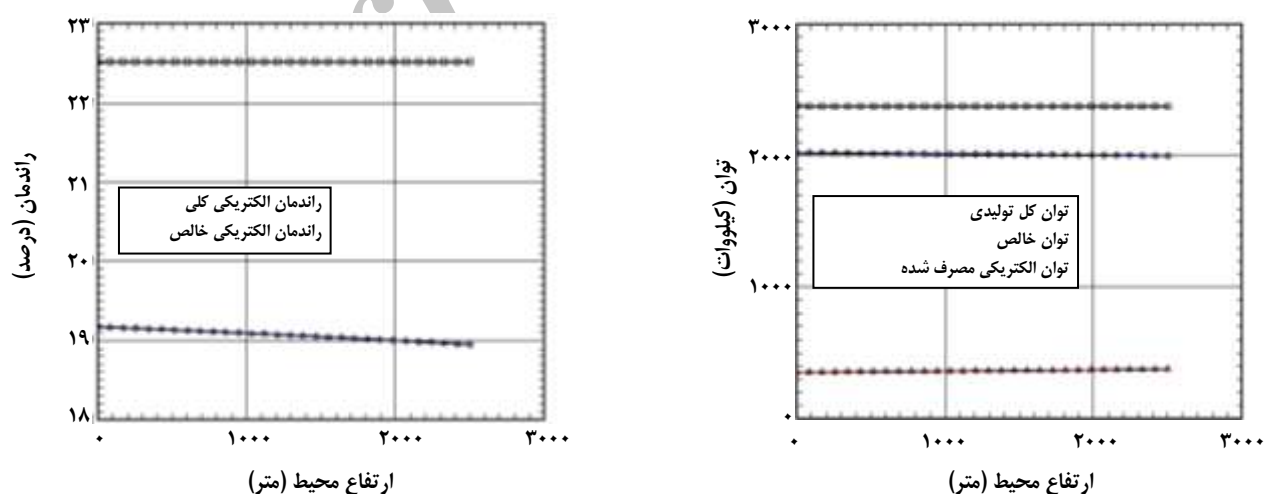
### بررسی تأثیر دمای محیط

در این بخش اثر تغییر دمای محیط و رطوبت نسبی که دو پارامتر محیطی تأثیرگذار می‌باشند؛ با بررسی ۴۰ مورد از دمای ۴-۴۲ درجه سلسیوس تا دمای ۴۲ درجه سلسیوس و رطوبت نسبی ۷۴ تا ۲۴ درصد مورد بررسی قرار گرفته است. این مقایسه به منظور یافتن تأثیر دما و رطوبت محیط بر روی راندمان خالص چرخه، توان الکتریکی تولیدی و... انجام گرفته است.

سیال کاری مورد بحث R-123 می‌باشد. شکل‌های ۱۰ و ۱۱ نتیجه خروجی شبیه‌سازی چرخه تجمیعی متمرکز کننده‌های سهمی لوله‌ای خورشیدی و چرخه آلی رانکین می‌باشد.



شکل ۷- چرخه تجمیعی متمرکز کننده‌های سهموی خورشیدی و چرخه الی رانکین بنهود یافته با مبدل تولید دوباره.

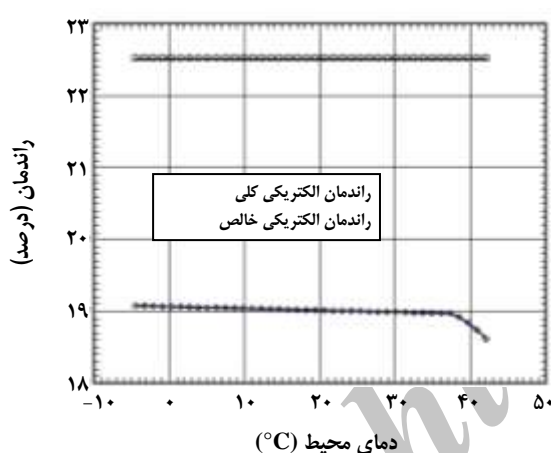


شکل ۹- اثر تغییر ارتفاع محیط بر راندمان الکتریکی کل و خالص چرخه تجمیعی.

شکل ۸- اثر تغییر ارتفاع محیط بر توان الکتریکی کل تولیدی و خالص و توان الکتریکی مصرف شده چرخه تجمیعی

جدول ۱۶- مقایسه مبدل‌های صفحه‌ای با مبدل‌های پوسته و لوله‌ای.

مشخصه	مشخصه	مشخصه
انجام همزمان انتقال گرما برای چند جریان	اتصالات	مبدل‌های صفحه‌ای
نسبت انتقال گرما	نسبت وزن هنگام کار	غیرممکن
نسبت فضای مورد نیاز	حجم ماندگی سیال در گیر <sup>(۱)</sup>	در چندین جهت
جوشکاری	حساس است	زیاد
حساسیت به ارتعاش	بر روی تمام اتصالات فلنجی	دارد
لاستیک برای آب بندی	به راحتی با افزودن تعداد صفحات	حساس است
تغییر ظرفیت	غیرممکن	(1) Hold up

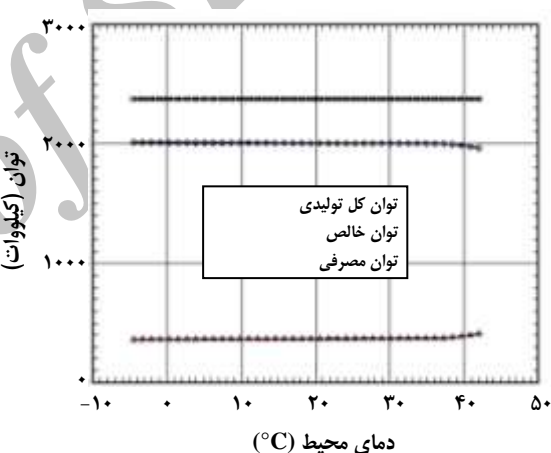


شکل ۱۱- اثر تغییر دمای محیط بر راندمان الکتریکی کل و خالص و چرخه تجمیعی.

بیشترین اختلاف توان الکتریکی خالص<sup>(۲)</sup> از زمستان به تابستان برای سیالات R-245ca و R-123 به ترتیب ۴۹۳,۹ و ۱۳۸ کیلووات و کمترین اختلاف توان خالص تولیدی برای سیال R-113 به میزان ۱۲,۲ کیلووات است.

### نتیجه گیری

با توجه به بررسی‌های انجام شده و نتایج شبیه‌سازی قابل دستیابی است:



شکل ۱۰- اثر تغییر دمای محیط بر توان الکتریکی کل تولیدی و خالص ومصرف توان الکتریکی داخلی چرخه تجمیعی.

در فصل زمستان و در جدول ۱۸ برای فصل تابستان مورد مقایسه قرار گرفته است. بر طبق جداول ۱۷ و ۱۸ راندمان خالص چرخه آلی رانکین<sup>(۱)</sup> و توان الکتریکی خالص در تابستان کاهش یافته است، علت، افزایش توان الکتریکی مصرف شده<sup>(۲)</sup> چرخه به دلیل افزایش دما در تابستان است. سیال R-245ca با افت راندمان خالص ۳,۰۲ درصدی بیشترین و سیال R-113 با ۱۲,۰ درصد کمترین، مقدار کاهش برای تغییر فصل از زمستان به تابستان را دارند.

(۱) Net electrical efficiency

(۲) Net power

(۲) Plant auxiliary

جدول ۱۷- نتیجه‌های تبیه‌سازی چرخه متراکز کننده‌های سهموی خورشیدی و چرخه آلی رانکین با تغییر سیال کاری در فصل زمستان.

Combined ORC – PTC Winter condition - T\_DB = -4.44°C-- RH% = 74

فشار چگالنده P (bar)	توان الکتریکی مصرفی چرخه kW	راندمان خالص چرخه %	راندمان کلی چرخه %	توان خالص تولیدی kW	توان تولیدی چرخه kW	نوع سیالات
۲	۳۵۱.۷	۱۴.۰۳	۱۷.۴۳	۱۴۵۲.۷	۱۸۰۴.۴	R-113 ۱
۲	۳۹۰.۱	۱۵.۹۷	۱۸.۸۶	۲۱۶۰.۲	۲۵۵۰.۳	R-123 ۲
۲.۵	۴۴۱.۵	۱۴.۹۵	۱۸.۲	۲۰۳۵.۹	۲۴۷۷.۴	R-141B ۳
۲	۴۲۹.۶	۱۴.۷۵	۱۷.۳۷	۲۴۱۳.۴	۲۸۴۳	R-245ca ۴
۲	۴۵۳.۹	۱۳.۱۱	۱۶.۰۸	۲۰۰۴.۹	۲۴۵۸.۸	R-365mfc ۵

جدول ۱۸- نتیجه‌های تبیه‌سازی چرخه متراکز کننده‌های سهموی خورشیدی و چرخه آلی رانکین با تغییر سیال کاری در فصل تابستان.

Combined ORC – PTC -Summer condition - T\_DB = 38°C-- RH% = 19.88

فشار چگالنده P (bar)	توان الکتریکی مصرفی چرخه kW	راندمان خالص چرخه %	راندمان کلی چرخه %	توان خالص تولیدی kW	توان تولیدی چرخه kW	نوع سیالات
۲	۳۶۳.۷	۱۳.۹۱	۱۷.۴۳	۱۴۰.۵	۱۸۰۴.۲	R-113 ۱
۲	۵۲۸.۱	۱۴.۹۵	۱۸.۸۶	۲۰۲۲.۲	۲۵۵۰.۳	R-123 ۲
۲.۵	۴۵۷.۲	۱۴.۸۴	۱۸.۲	۲۰۲۰.۳	۲۴۷۷.۶	R-141B ۳
۲	۹۲۳.۴	۱۱.۷۳	۱۷.۳۷	۱۹۱۹.۵	۲۸۴۲.۹	R-245ca ۴
۲	۴۷۲	۱۲.۹۹	۱۶.۰۸	۱۹۸۶.۷	۲۴۵۸.۷	R-365mfc ۵

که فشار کاری را به ۴۸ بار می‌رسد، راندمان خالص چرخه به ۱۸.۰۳ درصد یعنی چیزی در حدود ۷ درصد افزایش راندمان و ۴۶۸.۹ کیلو وات توان الکتریکی بیشتر تولید می‌کند.

ج - بررسی تغییر دمای محیط برای تابستان و زمستان نشان می‌دهد که با افزایش دما راندمان کاهش و در زمستان راندمان خالص چرخه افزایش می‌یابد.

د - بررسی ارتفاع محل نصب چرخه تجمیعی نشان می‌دهد که با افزایش ارتفاع راندمان خالص چرخه کاهش می‌یابد.

۵ - ارایه راهکار استفاده از مبدل تولید دوباره در این چرخه تجمیعی سبب افزایش راندمان چرخه از ۱۱.۸۵ به ۱۵.۵۹ درصد یعنی حدود ۴ درصد و ۲۰.۹ کیلو وات افزایش تولید توان الکتریکی برای سیال R-123 در فشار ۲۰ بار شده است. البته استفاده از این مبدل و افزایش فشار چرخه تا ۴۸ بار برای فوق بحرانی شدن چرخه راندمان خالص چرخه تجمیعی را به ۱۹.۶۴ درصد رسانده است.

با بررسی‌های انجام شده، استفاده از مبدل پوسه - لوله‌ای به عنوان جوش آور در این چرخه اگر فوق بحرانی (بالای ۲۵ تا ۳۰ بار) باشد؛

الف - سیال‌های R- 245ca ، R-113 ، R-141B ، R-123 در زمرة سیال‌های خشک هستند و بهترین عملکرد را برای منبع گرمای خورشیدی با دمای ۲۵۰ درجه سلسیوس داشتند.

ب - بررسی سیال‌سیال‌های کاری متفاوت به منظور یافتن بیشترین راندمان خالص از چرخه تجمیعی متراکز کننده‌های سهموی خورشیدی و چرخه آلی رانکین در فشار کاری ۴۸ بار و دمای ۲۵۰ درجه سلسیوس به این نتیجه رسید که سیال‌های R-123، R-141B، R-245ca، R-113، ۱۵.۱۷، ۱۱.۸۷، ۱۴.۲۱، ۱۵.۸۳ درصد می‌باشند؛ که سیال R-141B بیشترین راندمان خالص و سیال R-245ca بیشترین توان الکتریکی را داشتند. این بررسی از بین ۲۵ سیال کاری متفاوت انجام شده است.

بررسی دامنه‌های متفاوت فشار توربین که تغییرات این پارامتر منجر به تغییر فشار کاری چرخه می‌شود، نشان می‌دهد که با افزایش فشار کاری راندمان چرخه نیز افزایش می‌یابد. تغییر راندمان خالص چرخه چنان بود که برای سیال کاری R-123 فشار کاری ۱۵ بار، راندمان خالص چرخه ۱۱.۸۵ درصد و زمانی

در این شبیه‌سازی سیالات کاری R-113، R-123، R-141B در حدود ۲۰ بار باشد مبدل ۲ بار داشتند.

ز - بررسی تأثیر دمای محیط در دو فصل زمستان و تابستان و برای پنج سیال کاری بررسی شده است که راندمان خالص چرخه آلی رانکین<sup>(۳)</sup> و توان الکتریکی خالص در تابستان کاهش یافته است، علت این امر افزایش توان الکتریکی مصرف شده<sup>(۴)</sup> چرخه به دلیل افزایش دما در تابستان است. سیال R-245ca با افت راندمان خاص ۳۰٪ درصدی بیشترین و سیال R-113 با ۱۲٪ درصد کمترین، مقدار کاهش برای تغییر فصل از زمستان به تابستان را دارند.

سیال R-245ca با افت ۴۹٪ کیلووات بیشترین افت و سیال R-113 با ۱۲٪ کیلووات کمترین افت توان خالص الکتریکی برای تغییر فصل از زمستان به تابستان را دارند.

تاریخ دریافت: ۱۳۹۳/۱/۲۳؛ تاریخ پذیرش: ۱۳۹۳/۱/۱۹

دلخواه است. اما اگر فشار کاری چرخه در حدود ۲۰ بار باشد مبدل فشرده قاب و صفحه‌ای به دلیل اختلاف دمای پینچ در حدود ۲ درجه سلسیوس و حجم کم مبدل مناسب است.

و - سیالاتی مانند ایزو بوتال، R-218 به ترتیب کمترین مقدار راندمان خالص را نشان می‌دهد، بنابراین آنها برای چرخه تجمیعی مرکز کننده‌های سهموی خورشیدی و چرخه آلی R-141B رانکین نیستند. ولی سیالات کاری مانند R-123، R-113 به ترتیب در شرایط محیطی و دما و فشار کاری یاد شده بهترین راندمان خالص<sup>(۱)</sup> را دارند. پارامتر راندمان خالص هرچه بیشتر باشد سبب افزایش توان الکتریکی خالص می‌شود.

سیال کاری R-113 کمترین توان الکتریکی مصرف شده چرخه<sup>(۲)</sup> و سیال ایزو بوتال بیشترین را دارد؛ پارامتر توان الکتریکی مصرف شده چرخه هر چه کمتر باشد مناسب و سبب افزایش راندمان خالص چرخه می‌شود.

فشار چگالنده پارامتر تأثیرگذار بر مصرف داخلی چرخه می‌باشد. فشار چگالنده در سیالات آلی به طور معمول از ۲ بار شروع می‌شود.

## مراجع

- [1] Chen, H., Goswami, D., Rahman, M. M., and Stefanakos, E. K., A supercritical Rankine Cycle Using Zeotropic Mixture Working Fluids for the Conversion of Low-Grade Heat into Power, *Energy*, **36**(1): 549–555 (2011).
- [2] Harada K., "Development of a Small Scale Scroll Expander", Master of Science Thesis. Oregon State University (2007).
- [3] Borsukiewicz-Gozdur A., Nowak W., Comparative Analysis of Natural and Synthetic Refrigerants in Application to Low Temperature Clausius–Rankine Cycle, *Energy*, **32**:344-352 (2007).
- [4] Schuster A., Karellas S., Kakaras E., Spliethoff H., Energetic and Economic Investigation of Organic Rankine Cycle Applications, *Applied Thermal Engineering*, **29**:1809 -1817 (2009).
- [5] Lariola J., Electricity from Industrial Waste Heat Using High Speed Organic Rankine Cycle (ORC), *International Journal of Production Economics*, **41**:227-235 (1995).
- [6] Saleh B., Koglbauer G., Wendland M., Fischer J., Working Fluids for Low Temperature Organic Rankine Cycles, *Energy*, **32**:1210-1221 (2007).
- [7] Mago P.J., Chamra L.M., Somayaji C., Performance analysis of different working fluids for Use in Organic Rankine Cycles, Proceedings of the Institution of Mechanical Engineers, Part A, *Journal of Power and Energy*, **221**:255-263 (2007).

(۱) Net electrical efficiency

(۲) Net electrical efficiency

(۳) Plant auxiliary

(۴) Plant auxiliary

- [8] Dai Y., Wang J., Gao L., Exergy Analysis, Parametric Analysis and Optimization for a Novel Combined Power and Ejector Refrigeration Cycle, *Applied Thermal Engineering*, **29**(10): 1983-1990 (2009).
- [9] Yamamoto T., Design and Testing of the Organic Rankine Cycle, *Energy*, **26**:239-251 (2001).
- [10] Liu Bo-Tau., Chien Kuo-Hsiang., Wang Chi-Chuan., Effect of Working Fluids on Organic Rankine Cycle for Waste Heat Recovery, *Energy*, **29**:1207-1217 (2004).
- [11] <http://www.alternative-energy-tutorials.com/>, Last Accessed Jan 18, (2014).

Archive of SID